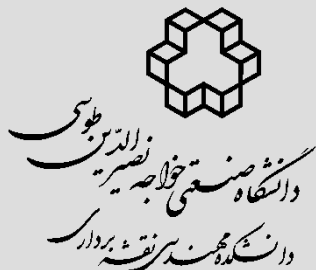


# نشریه علمی مهندسی فناوری اطلاعات مکانی



سال نهم، شماره نخست، بهار ۱۴۰۰

Vol.9, No.1, Spring 2021

۲۱ - ۴۰

مقاله پژوهشی

DOR: [20.1001.1.20089635.1400.9.1.5.2](https://doi.org/10.1001.1.20089635.1400.9.1.5.2)

## بررسی قابلیت پایش جابجایی در یک سامانه رادار روزنه مصنوعی زمینی با آنتن چندخروجی - چنددورودی

سید بنیامین حسینی<sup>۱</sup>، جلال امینی<sup>۲\*</sup>، صفی الدین صفوی نائینی<sup>۳</sup>

۱- دانشجوی دکتری سنجش از دور، دانشکده مهندسی نقشه‌برداری و اطلاعات مکانی، پردیس دانشکده‌های فنی، دانشگاه تهران

۲- استاد دانشکده مهندسی نقشه‌برداری و اطلاعات مکانی، پردیس دانشکده‌های فنی، دانشگاه تهران

۳- استاد دانشکده برق و کامپیوترا، دانشگاه واترلو کانادا

تاریخ دریافت مقاله: ۱۳۹۹/۱۰/۳۰ تاریخ پذیرش مقاله: ۱۴۰۰/۰۳/۲۶

### چکیده

با افزایش کاربرد سنجش از دور راداری و افزایش نیاز به داده‌های متنوع راداری در کاربردهای پایش زمین، مطالعات در زمینه توسعه و ارزیابی سامانه‌های رادار روزنه مصنوعی زمینی (GBSAR) اهمیت بیشتری پیدا کرده است. سامانه‌های GBSAR در مقایسه با سامانه‌های هوایی و ماهواره‌ای دارای زاویه دید مناسب‌تر نسبت به محدوده پایشی هستند. علاوه‌بر این، این سامانه‌ها دارای قدرت تفکیک مکانی و زمانی بهتری در مقایسه با سایر سامانه‌ها هستند و هزینه راه اندازی کمتری دارند. مقاله پیش رو به توسعه و ارزیابی یک سامانه با ترکیب سنجنده رادار با آنتن چندخروجی - چنددورودی (MIMO) و تصویربرداری روزنه مصنوعی (MIMO GBSAR) در محیط شبیه‌سازی می‌پردازد. سنجنده راداری مورد بررسی در این مقاله از دو آنتن فرستنده و چهار آنتن گیرنده در باند فرکانسی  $W$  با محدوده فرکانسی  $81-76$  گیگاهرتز بهره می‌برد. فشرده‌سازی در راستای آزمیوت در دو مرحله فرمدهی پرتو آنتن مجازی MIMO و سپس فشرده‌سازی تمامی سیکنال‌های راستای آزمیوت صورت می‌گیرد. طبق نتایج شبیه‌سازی، حالت ترکیبی MIMO GBSAR، باعث بهبود قدرت تفکیک در راستای آزمیوت از  $400$  میلی رادیان در حالت رادار MIMO به  $49$  میلی رادیان بوده است. همچنین در مقایسه با حالت رادار روزنه مصنوعی مونو استاتیک، تعداد گام‌های موردنیاز در حالت ترکیبی از  $920$  گام به  $115$  گام در ریلی به طول  $90$  سانتی‌متر کاهش یافته که بیان‌گر قابلیت سامانه MIMO GBSAR به اخذ داده با نرخ تصویربرداری بالاتر است. در بررسی پردازش تداخل‌سنگی و قابلیت پایش جابجایی سامانه پیشنهادی در محیط شبیه‌سازی آزمایشی صورت گرفت که طی آن، هدفی با نرخ جابجایی  $0.1$  میلی‌متر بر اپوک درنظر گرفته و فرایند ایجاد سیگنال خام و پردازش تداخل‌سنگی آن شبیه‌سازی گردید و تصویربرداری صورت گرفت. طی این آزمایش نرخ جابجایی هدف متحرک در هر اپوک  $0.1$  میلی‌متر درنظر گرفته شد. طی این آزمایش، دقیق برآورد جابجایی سنجنده در مقیاس میکرومتر بدست آمد. بطوری که مقادیر شدت خطا از سطح  $1.5$  میکرومتر پایین‌تر و بطور میانگین حدود  $0.32$  میکرومتر برآورد شدند.

کلید واژه‌ها: فرمدهی پرتو، تصویربرداری رادار روزنه مصنوعی، تداخل‌سنگی راداری، طول موج میلی‌متری، باند  $W$ .

\* نویسنده مکاتبه کننده: تهران، تقاطع خیابان کارگر شمالی و جلال آلمحمد، دانشکده فنی دانشگاه تهران، دانشکده نقشه‌برداری و اطلاعات مکانی، گروه فتوگرامتری و سنجش از دور.  
تلفن: ۰۲۱۶۱۱۱۴۳۷۸

## ۱- مقدمه

به پایش جابجایی سازه‌های باستانی در کشور ایتالیا پرداختند. در این سامانه سنجنده رادار بر یک ریل مکانیکی قرار گرفته و با حرکت در مسیر ریل، روزنه مصنوعی در راستای عمود بر برد ایجاد می‌گردد [۷]. در این سال‌ها اغلب سامانه‌های GBSAR توسعه یافته با هدف کاربرد پایش جابجایی بوده‌اند. ایگل‌سیاس و همکاران در مقاله‌ای در سال ۲۰۱۴ به توسعه سامانه GBSAR در باند X به منظور پایش فرون‌نشست شهری پرداختند. این سامانه با افزودن قابلیت قطبیدگی باعث بهبود همدوسوی بین داده‌های سری زمانی و بهبود در تخمین فرون‌نشست منطقه شده است [۸]. مقاله‌ای به نویسنده‌گی کارونا‌تیلاک و همکاران، با بهره‌گیری از سامانه GBSAR سریع به پایش زمین‌رانش در منطقهمعدنی می‌پردازد. این سامانه با نرخ تصویربرداری ۴ ثانیه امکان ثبت جابجایی‌های سریع را فراهم می‌کند [۹].

روش‌های شکل‌دهی دیجیتال پرتو (DBF<sup>۴</sup>) در سال-های اخیر پیشرفت و کاربرد فراوانی عرصه رادار داشته‌اند. استفاده از این رویکرد در آتنن‌های آرایه فازی می‌تواند باعث بهبود پرتوی آتنن گردد. آتنن‌های چندروودی - چندخروجی (MIMO<sup>۵</sup>) نوعی از آتنن‌های آرایه فازی با قابلیت DBF هستند؛ با این تفاوت که هندسه قرار گیری آتنن‌ها در این حالت از قانون نایکوئیست<sup>۶</sup> پیروی نمی‌کند. همین امر باعث می‌شود تا تعداد آتنن‌های مورد نیاز نیز کاهش یابد [۱۰]. سامانه MELISSA نخستین سامانه زمینی راداری با قابلیت MIMO بود که در کاربردهای سنجش از دوری توسعه پیدا کرد [۱۱]. در این سامانه، دوازده آتنن فرستنده و گیرنده با هندسه MIMO، جایگزین ریل مکانیکی شده‌اند و بدین ترتیب از ترکیب این آتنن‌ها، تفکیک‌پذیری زاویه با قدرت ۲۱ میلی‌رادیان فراهم می‌شود. عدم

سنجدن از دور راداری از جمله فناوری‌های شناخته شده در زمینه پایش زمین به منظور حل مسائل عمرانی و محیط زیستی است [۱ و ۲]. از این‌رو با گسترش روزافرون کاربردهای سنجش از دور راداری و افزایش نیاز به این فناوری، مطالعات در زمینه ارائه سامانه‌های نوین نیز افزایش پیدا کرده است.

در سنجش از دور راداری، عموماً سامانه‌های هوایرد و ماهواره‌ای به همراه پردازش رادار روزنیه مصنوعی (SAR<sup>۱</sup>) کاربرد و قدمت بیشتری را دارا هستند. با این وجود، در سال‌های اخیر سامانه‌های رادار روزنیه مصنوعی زمینی (GBSAR<sup>۲</sup>) به علت قابلیت‌هایی که در حل محدودیت‌های سایر سامانه‌های ذکر شده دارند، توجهات زیادی را جلب کرده‌اند [۳ و ۴]. به عنوان مثال در مناطقی که سامانه‌های هوایرد یا ماهواره‌ای زاویه دید مناسبی ندارند، می‌توان از سامانه GBSAR با جایگیری مناسب، بهره‌برد. این سامانه‌ها عموماً دارای ساختار ساده‌تری هستند و با قطعات کمتر و کوچک-تری ساخته می‌شوند. علاوه بر این، با توجه به کاربرد عمدی آن‌ها برای برد‌های نسبتاً کوتاه، سنجنده استفاده شده در GBSAR معمولاً از سیگنال‌های پیوسته با مدولاسیون فرکانسی (FMCW<sup>۳</sup>) استفاده می‌کند که باعث کاهش شدید هزینه و ابعاد سیستم می‌شود. از دیگر ویژگی‌های GBSAR، کاهش نرخ اخذ داده به کسری از ساعت است. این ویژگی باعث می‌شود تا مناطق با جابجایی سریع را بطور پیوسته پایش نمود. علاوه بر این، مانع کاهش همدوسوی بین داده‌های سری-زمانی و جلوگیری از وقوع فاز مبهم در مسائل تداخل-سنجدی راداری می‌شود [۵ و ۶].

توسعه نخستین سامانه GBSAR در کاربرد سنجش-از دور به سال ۱۹۹۹ برمی‌گردد که توسط آن محققین

<sup>۴</sup> Digital Beamforming (DBF)

<sup>۵</sup> Multiple-Input Multiple-Output (MIMO)

<sup>۶</sup> Nyquist

<sup>۱</sup> Synthetic aperture radar (SAR)

<sup>۲</sup> Ground-Based SAR (GBSAR)

<sup>۳</sup> Frequency modulated continuous wave (FMCW)

## ۲- مبانی تئوری

این قسمت به مبانی تئوری مورد نیاز به منظور پردازش سیگنال سیستم‌های راداری می‌پردازد. ابتدا معادله اساسی رادار به منظور تعیین برد بیشینه رادار بیان می‌شود. در ادامه، مراحل پردازشی لازم جهت رسیدن به تصویر راداری از سیگنال خام رادار روزنگ مصنوعی زمینی با آنتن *MIMO* بیان می‌شود. در نهایت نیز، طریقه بازیابی جابجایی از طریق اختلاف فاز تداخل-سنجدی بیان می‌شود.

### ۲-۱- معادله اساسی رادار

همواره در طراحی و یا بررسی عملکرد یک سنجنده راداری، معادله اساسی رادار نقش مهمی را ایفا می‌کند. در این معادله ارتباط بین تمامی اجزای سنجنده رادار، محیط انتشار، و هدف بازتابی بیان می‌شود. رابطه (۱) بیشترین برد قابل کشف توسط سنجنده رادار را برای هدف بازتابنده بیان می‌کند که به آن معادله اساسی رادار نیز گفته می‌شود [۱۵].

$$R_{\max}^4 = \frac{NPG_n G_n \lambda_c^2 \sigma}{(4\pi)^3 k T_0 F_n B_n (\text{SNR})_1 L} \quad (1)$$

علائم استفاده شده در رابطه (۱) موارد زیر هستند:

*N*: تعداد پالس‌های ارسالی

*P*: توان بیشینه ارسالی به واحد وات

*G<sub>tx</sub>*, *G<sub>rx</sub>*: بهترین بهره آنتن ارسالی و دریافتی

*L*: طول موج حامل

*σ*: سطح مقطع راداری هدف مدنظر (واحد متر مربع)

*k* =  $1.38 \times 10^{-23}$  (J/deg) ثابت بولتزمن

*T<sub>0</sub>*: دمای استاندارد

*F<sub>n</sub>*: عدد نویز

*B<sub>n</sub>*: پهنای باند نویز

*(SNR)*: نسبت سیگنال به نویز در یک پالس

*L*: ضریب تلف سیستم

*R<sub>max</sub>*: برد بیشینه

در رابطه (۱) ارتباط بین تمام اجزای اصلی تشکیل-

دهنده یک سنجنده رادار بیان می‌شود. بنابراین، بررسی

این رابطه اهمیت بالایی در بحث طراحی و یا ارزیابی

استفاده از ریل مکانیکی باعث می‌گردد تا نرخ تصویربرداری بسیار بالارود. در پژوهش‌های اخیر نیز سامانه‌هایی با ترکیب قابلیت *MIMO* و پردازش حسگری فشرده معرفی گردیدند [۱۲ و ۱۳]. به عنوان مثال سامانه توسعه یافته توسط پیپراچینی و میچینسی، با استفاده از ۴ آنتن فرستنده و ۴ آنتن گیرنده و با کمک پردازش حسگری فشرده، به تفکیک‌پذیری ۵۰ میلی‌رادیان در راستای آزمودت می‌رسد [۱۲]. با این حال، برای رسیدن به تفکیک‌پذیری بالا، نیاز به تعداد آنتن‌های بسیاری است که این امر می‌تواند منجر به افزایش هزینه شود. از این‌رو در این مقاله به بررسی ترکیبی آنتن *MIMO* با استفاده از ریل مکانیکی (*MIMO GBSAR*) پرداخته می‌شود تا علاوه بر کسب تفکیک‌پذیری بالا در راستای عمودبر برد، بتوان تعداد گام‌های موردنیاز را کاهش و نرخ تصویربرداری را بهبود بخشید. از جمله مراحل مهم در توسعه یک سامانه، ارزیابی و بررسی پارامترها و قابلیت‌های آن سامانه در محیط شبیه‌سازی است [۱۴]. از این‌رو، هدف از ارائه این مقاله توسعه و سپس بررسی و ارزیابی ترکیب آنتن *MIMO* با تصویربرداری روزنگ مصنوعی به منظور توسعه سامانه *MIMO GBSAR* در محیط شبیه‌سازی است. بدین‌منظور، پارامترهای یک رادار *MIMO* با طول موج میلی‌متری و سوار بر ریل مکانیکی از لحاظ تفکیک‌پذیری و کشف اهداف و در نهایت در تخمین جابجایی با روش تداخل‌سنجدی، مورد بررسی و ارزیابی قرار می‌گیرد.

بخش‌های بعدی مقاله بدین شرح است: بخش ۲ مبانی تئوری مربوط به سامانه‌های رادار و مراحل پردازشی سیگنال *MIMO GBSAR* به منظور تشکیل تصویر و پایش جابجایی را بیان می‌کند. در بخش ۳ پارامترهای سامانه پیشنهادی مورد بررسی قرار می‌گیرند و سپس نتایج شبیه‌سازی تصویر راداری و پایش جابجایی ارائه و بررسی می‌شوند. در نهایت، در بخش ۴ نتیجه‌گیری ارائه می‌گردد.

$$s_r = \exp(j 2\pi f_c (t - t_d) + j \pi c_r (t - t_d)^2)$$

علت تاخیر صورت گرفته، مسیر حرکت موج از لحظه ارسال تا برخورد به هدف و بازگشت به سمت گیرنده است. اگر موقعیت آنتن گیرنده و فرستنده را یکسان در نظر بگیریم، مقدار تاخیر زمانی  $t_d$  معادل با رابطه (۴) خواهد بود.

$$\text{رابطه (۴)} \quad t_d = \frac{2R}{c}$$

در رابطه (۴)  $R$  معادل فاصله هدف تا سنجنده و  $c$  برابر با سرعت نور است [۱۷].

آشکارسازی اهداف موجود در سیگنال دریافتی رادار با روش فشرده‌سازی برد<sup>۴</sup> صورت می‌گیرد. طی این فرایند، کوولیشن<sup>۵</sup> سیگنال دریافتی با سیگنال ارسالی یا مرجع محاسبه می‌شود. به این فرایند، فیلتر منطبق<sup>۶</sup> یا نیز گفته می‌شود که طی انجام آن، چرب سیگنال دریافتی حذف می‌گردد و سیگنال دیچرپ<sup>۷</sup> ایجاد می‌گردد [۱۸]. معادله سیگنال دیچرپ بصورت رابطه (۵) بیان می‌گردد.

$$\text{رابطه (۵)} \quad s_b = \exp(j 2\pi(c_r t_d t + f_c t_d))$$

در رابطه (۵)  $s_b$  بیانگر سیگنال دیچرپ شده است که اصطلاحاً به آن سیگنال میانی<sup>۸</sup> یا ضربه<sup>۹</sup> نیز گفته می‌شود.

در سیستم‌های *FMCW* عموماً فرایند فشرده‌سازی برد بصورت سخت‌افزاری صورت می‌گیرد. شکل (۱) ساختار متداول یک سیستم رادار *FMCW* را نمایش می‌دهد. در این سیستم، سیگنال دریافتی توسط میکسر<sup>۱۰</sup> با یک نسخه از سیگنال ارسالی ترکیب می‌

قابلیت‌های یک سنجنده راداری خواهد داشت. پس از طراحی و ساخت سنجنده رادار تمامی پارامترهای بیان شده در معادله رادار از قبیل بهره آنتن‌های گیرنده و فرستنده، عدد نویز، تلف سیستم، نسبت سیگنال به نویز، پهنای باند نویز، طول موج حامل، و توان ارسالی معلوم هستند. درنتیجه، می‌توان بیشترین قابلیت سنجنده در کشف هدفی با سطح مقطع راداری معلوم را محاسبه نمود.

## ۲-۲- پردازش سیگنال رادار (راستای برد)

سیگنال عملیاتی رادار می‌تواند بصورت پالس، و یا پیوسته تولید شود. در بین این دو نوع، سیگنال‌های پیوسته کاربرد و قابلیت‌های بهتری را برای سیستم‌های زمینی برخوردارند و استفاده از سیگنال پیوسته با مدولاسیون فرکانس در این نوع از سیستم‌ها بسیار متداول است. به سیگنال مدوله فرکانسی در طول یک تنابع به مدت زمان  $\tau$ ، اصطلاحاً سیگنال چرب<sup>۱۱</sup> و یا سویپ<sup>۱۲</sup> گفته می‌شود. در سیگنال چرب، فرکانس سیگنال بصورت تابعی از زمان از فرکانس آغازین  $f_1$  تا فرکانس پایانی  $f_2$  در حال تغییر است. رابطه (۲) معادله سیگنال ارسالی *FMCW* با مدولاسیون خطی را بیان می‌کند.

$$\text{رابطه (۲)} \quad s_t = \exp(j 2\pi f_c t + j \pi c_r t^2)$$

در رابطه (۲)،  $s_t$  بیانگر سیگنال ارسالی،  $f_c$  بیانگر فرکانس حامل (آغازین)،  $c_r$  بیانگر نرخ (شیب) تغییر فرکانس<sup>۱۳</sup> و  $t \in [0, \tau]$  بیانگر متغیر زمان هستند. در این حالت، فرکانس و فاز سیگنال به ترتیب تابعی خطی و سهمی از زمان هستند. سیگنال بازتابی ( $s_r$ ) نیز، در حالت ایده‌آل، رابطه‌ای مشابه معادله سیگنال ارسالی دارد (رابطه (۳)); با این تفاوت که به اندازه  $t_d$  تاخیر یافته است [۱۶].

$$\text{رابطه (۳)}$$

<sup>۴</sup> Range compression

<sup>۵</sup> Correlation

<sup>۶</sup> Matched filter

<sup>۷</sup> Dechirped signal

<sup>۸</sup> Intermediate signal

<sup>۹</sup> Beat signal

<sup>۱۰</sup> Mixer

<sup>۱۱</sup> Chirp signal

<sup>۱۲</sup> Sweep

<sup>۱۳</sup> Chirp-rate (slope)

$$R = \frac{cf_b \tau}{2B} = \frac{cf_b}{2c_r} \quad (6)$$

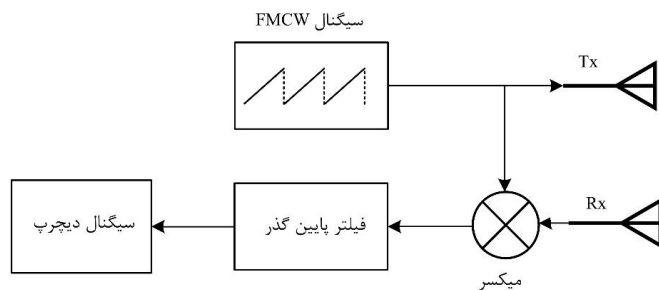
در رابطه (۶)،  $f_b$  بیانگر فرکانس ضربه (میانی) هدف پراکنده‌گر بعد از دیچرپ کردن سیگنال دریافتی؛ و  $B$  بیانگر پهنه‌ای باند سیگنال ارسالی است که از اختلاف بین فرکانس بیشینه و کمینه محاسبه می‌گردد. قدرت تفکیک اهداف در راستای برد از رابطه (۷) محاسبه می‌گردد.

$$\rho_r = \frac{c}{2B} \quad (7)$$

از رابطه (۷) می‌توان دریافت که قدرت تفکیک رادار در راستای برد، تنها به پارامتر پهنه‌ای باند آن وابسته است.

و پس از اعمال یک فیلتر پایین‌گذر، سیگنال دیچرپ-شده ذخیره می‌گردد [۱۱]. فیلتر ذکرشده توسط پهنه‌ای باند دیچرپ تعیین می‌گردد تا فقط اهداف با فرکانس‌های پایین‌تر را عبور دهد. علت وجود این فیلتر کاهش نیاز به مبدل آنالوگ به دیجیتال با نرخ نمونه‌برداری زیاد است.

سیگنال دیچرپ ذخیره شده یک سیگنال سینوسی در حوزه زمان خواهد بود و پس از یک تبدیل فوریه فرکانس‌های مربوط به اهداف بازتابی، آشکار می‌گرددند [۱۹]. در نتیجه، برد اهداف از رابطه (۶) محاسبه می‌شود.

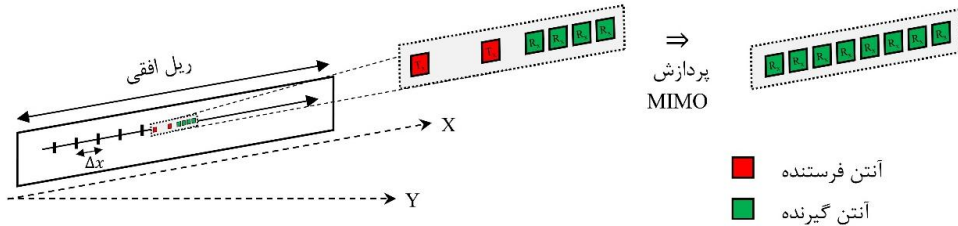


شکل ۱: بلوک‌دیاگرام سنجنده رادار با سیگنال FMCW

را با استفاده از آنتن MIMO نمایش می‌دهد. همان‌طور که مشاهدا می‌شود، با وجود آنتن MIMO، دو مرحله پردازشی در راستای آزیموت مورد نیاز است که شامل شکل‌دهی پرتو آنتن MIMO و سپس فشرده‌سازی سیگنال‌های تهیه شده در راستای آزیموت یا همان ریل مکانیکی است.

### ۳-۲- پردازش سیگنال آزیموت (راستای عمود بر برد)

به منظور رسیدن به تفکیک‌پذیری در راستای آزیموت، نیاز به ایجاد روزنه مصنوعی با حرکت سنجنده رادار در راستای عمود بر برد رادار است. شکل (۲) بصورت گرافیکی سامانه رادار روزنه مصنوعی زمینی مورد نظر



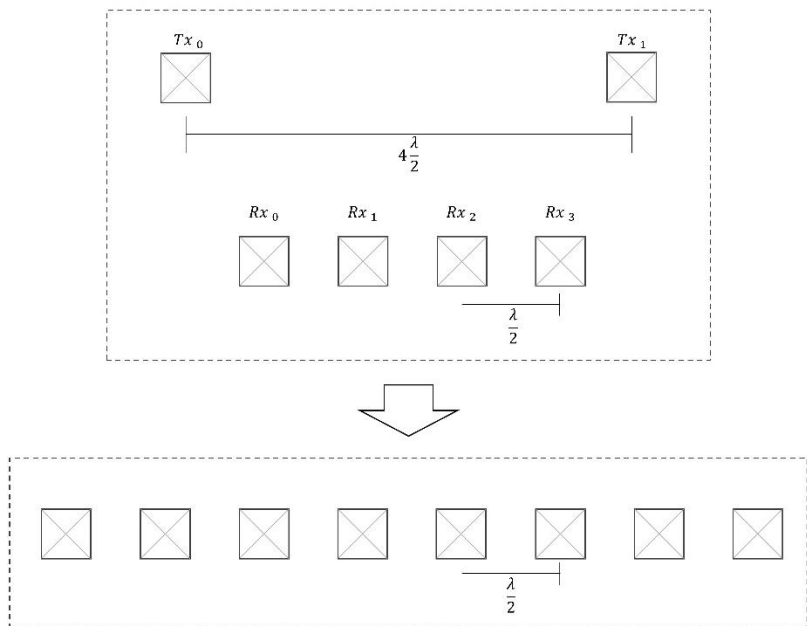
شکل ۲: نمایش گرافیکی MIMO GBSAR

خواهد شد. شکل (۳) نمونه‌ای از هندسه قرارگیری آنتن‌ها در صورت حضور ۴ گیرنده و ۲ فرستنده را نمایش می‌دهد. در این حالت، هر آنتن مجازی ایجادشده دارای یک شیفت فاز نسبت به مرکز آرایه خواهد بود که بصورت تابعی از زاویه آزمیوت هدف و فاصله قرارگیری آنتن‌ها در مجاورهم است (رابطه (۸)).

(رابطه (۸))

$$\phi_{shift} = 2\pi \left( \frac{l \cdot \sin \theta}{\lambda} \right) i; \quad \frac{-MN}{2} \leq i \leq \frac{MN}{2}$$

در حالت معمول و متدائل در رادارهای *MIMO* در صورتی که  $N$  آنتن گیرنده (یا فرستنده) در فاصله نصف طول موج سیگنال  $\frac{\lambda}{2}$  (فاصله نایکوئیست) از هم قرار گرفته باشند و همین‌طور  $M$  آنتن فرستنده (یا گیرنده) وجود داشته باشد که در فاصله  $\frac{\lambda}{2}$  از هم باشند، آنگاه ترکیب این آنتن‌ها باعث ایجاد آرایه‌ای مجازی مشکل از  $N \times M$  آنتن به اندازه  $\frac{\lambda}{2}$



شکل (۳): فاصله قرارگیری آنتن‌های فرستنده و گیرنده در یک سنجنده رادار *MIMO* که باعث ایجاد آرایه‌ای مجازی با تعداد بیشتری آنتن می‌شود

سنجنده تا هدف را در هر گام از طریق رابطه (۹) محاسبه نمود.

$$R(x) \cong R_0 - x \sin \theta \quad (9)$$

درنتیجه، با جایگذاری رابطه (۹) در رابطه (۵)، سیگنال دریافتی از هدف در گام بصورت رابطه (۱۰) بیان می‌شود:

شکل (۴) هندسه تصویربرداری SAR در سنجنده زمینی در صفحه دوبعدی را نمایش می‌دهد. در این حالت سنجنده رادار در مسیری مستقیم حرکت می‌کند و درنتیجه، هر هدف نقطه‌ای دارای بردی متفاوت در هر گام رادار خواهد بود. با توجه به هندسه بیان شده، برد هدف نقطه‌ای ( $x_p, y_p$ ) را در هر گام از رابطه

$$R(x) = \sqrt{x^2 + R_0^2 - 2R_0 \sin \theta} \text{ محاسبه می‌شود. با خطی‌سازی این رابطه توسط بسط تیلور، می‌توان فاصله}$$

آن معادل  $\theta = \lambda / 2D$  خواهد بود. درنتیجه، با در نظر گرفتن اینکه آنتن مجازی بطول  $D$ ، پهنهای پرتوی چندبرابر بازیکتر از آنتن فیزیکی خواهد داد، می‌توان رابطه (۱۲) را بصورت تقریبی بر اساس طول آن مجازی  $MIMO$  بصورت رابطه (۱۳) بیان نمود.

$$\Delta x \leq \frac{\lambda}{4 \sin \theta} \cong \frac{D}{2} = \frac{NM \lambda}{4} \quad (13)$$

در نتیجه طبق رابطه (۱۳) می‌توان دریافت که فاصله بین گام‌ها را می‌توان براساس تعداد آنتن‌های گیرنده و فرستاده افزایش داد. در نهایت فشرده‌سازی در راستای آزمیوت نیز مشابه راستای برد با تبدیل فوریه امکان‌پذیر می‌شود و درنهایت، اهداف مشابه راستای برد در راستای آزمیوت با قدرت تفکیک معادل رابطه (۱۴) از هم تفکیک می‌شوند.

$$\rho_{\alpha} = \frac{\lambda}{2L_s} \quad (14)$$

در رابطه (۱۴)  $L_s$  و  $\rho_{\alpha}$  به ترتیب بیانگر طول روزنگ مصنوعی و قدرت تفکیک در راستای آزمیوت به رادیان هستند [۱۷].

رابطه (۱۰)

$$s_b = \exp\left(j \frac{4\pi}{\lambda} R(x)\right) \cong \exp\left(j \frac{4\pi}{\lambda} (R_0 - x \sin \theta)\right)$$

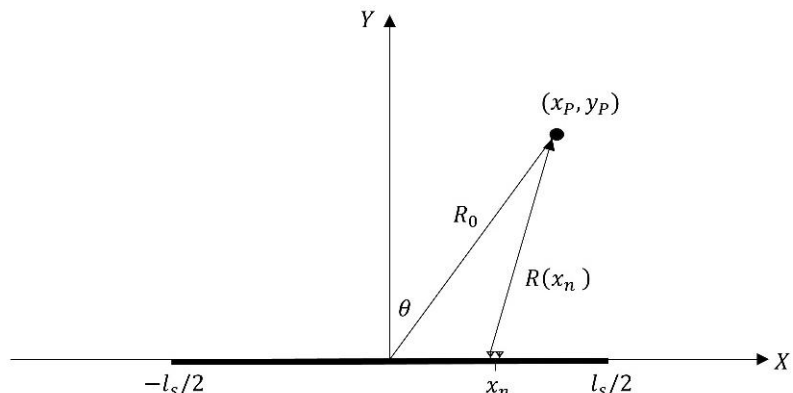
طبق رابطه (۱۰)، اختلاف فاز ایجادشده بین دو سیگنال دریافتی از دو گام پیاپی سنجنده، که متعلق به یک هدف است را می‌توان بصورت رابطه (۱۱) تعریف کرد.

$$\Delta\phi = \frac{4\pi}{\lambda} \Delta x \sin \theta \quad (11)$$

در رابطه (۱۱)  $\Delta x$  معادل گام‌های حرکتی سنجنده بر روی ریل مکانیکی است. با درنظر گرفتن شرط  $|\Delta\phi| \leq \pi$ ، حد اندازه گام سنجنده بصورت رابطه (۱۲) خواهد بود.

$$\Delta x \leq \frac{\lambda}{4 \sin \theta} \quad (12)$$

همان‌طور که اشاره شد، استفاده از آنتن  $MIMO$  باعث می‌شود تا آنتن مجازی بزرگ‌تری به طول  $D = NM \lambda / 2$  ایجاد گردد. حال اگر  $\theta$  را معادل نصف پهنهای بیم آنتن مجازی ایجادشده در نظر بگیریم، مقدار



شکل ۴: هندسه تصویربرداری روزنگ مصنوعی در سیستم رادار زمینی

میزان جابجایی بین دو لحظه  $t_1$  و  $t_2$  بصورت رابطه(۱۷) محاسبه می‌شود.

$$\Delta R_{21} = R_2 - R_1 = \frac{\lambda \Delta \phi_{21}}{4\pi} \quad (17)$$

### ۳- سامانه پیشنهادی، نتایج و بحث

در این بخش سامانه *GBSAR* توسعه یافته با ترکیب آنتن *MIMO* و تصویربرداری روزنه مصنوعی، در محیط شبیه‌سازی مورد ارزیابی قرار می‌گیرد. ابتدا مشخصات این سامانه، از جمله پارامترهای سنجنده را در آن بیان می‌شوند و براساس معادله اساسی را در مورد ارزیابی قرار می‌گیرد. در ادامه، قابلیت تصویربرداری این سامانه بررسی و با حالات متداول دیگر مقایسه و ارزیابی می‌شود. در نهایت، نیز قابلیت تداخل‌سنجه مورد نظر به منظور پایش و کشف جابجایی ارزیابی می‌شود.

#### ۳-۱- مشخصات سیستم مورد بررسی

جدول (۱) پارامترهای اساسی این سنجنده را بیان می‌کند.

### ۴-۲- پردازش تداخل‌سنجه را در

در صورتی که از فاز نویزی صرف‌نظر کنیم، مدل فاز سیگنال دیچرپ دریافتی را می‌توان بصورت رابطه (۱۵) بازنویسی کرد [۷ و ۲۰].

$$\phi = \frac{4\pi R}{\lambda} + \phi_{scatt} \quad (15)$$

در رابطه (۱۵)،  $\phi_{scatt}$  مربوط به فاز پراکندگی سیگنال بازگشتی است که به ماهیت و جنس هدف بازتابنده وابسته است. در صورتی که در دو زمان  $t_1$  و  $t_2$  سیگنال را در ارسال و دریافت شود، آنگاه با استفاده از اختلاف فاز بین دو سیگنال بازتابی می‌توان میزان جابجایی را برآورد نمود. در صورتی که  $\phi_{scatt}$  را در دو سیگنال بازتابی یکسان در نظر بگیریم، رابطه اختلاف فاز ایجادشده را می‌توان بصورت رابطه (۱۶) بیان نمود [۵].

$$\Delta \phi_{21} = \phi_2 - \phi_1 = \frac{4\pi \Delta R_{21}}{\lambda} \quad (16)$$

در رابطه (۱۶)،  $\Delta \phi_{21}$  بیانگر اختلاف فاز و  $\Delta R_{21}$  بیانگر جابجایی ایجادشده است. با ایجاد معکوس رابطه بالا،

جدول ۱: پارامترهای اساسی سامانه *GBSAR*

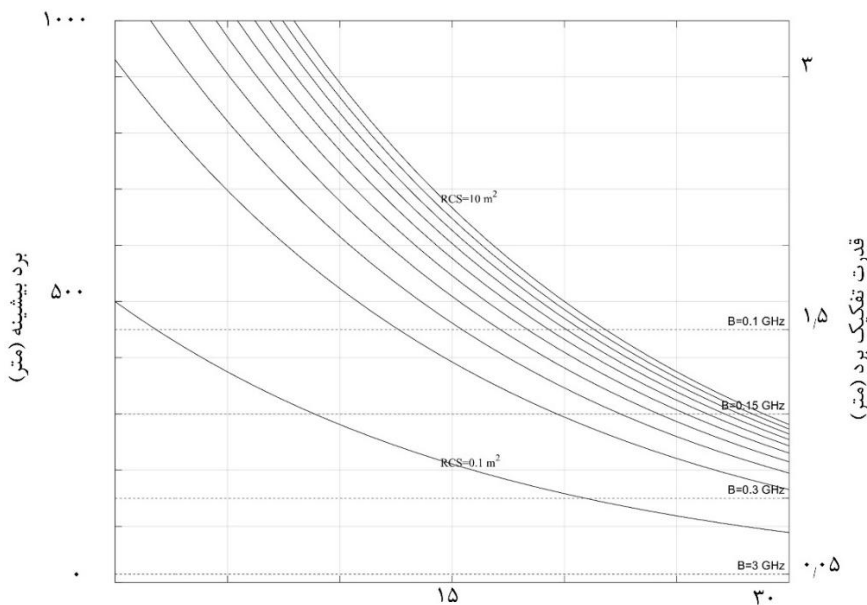
پارامتر	مقدار
توان فرستنده	۱/۵ میلی وات
عدد نویز	۱۵ دسی بل
محدوده فرکانس حامل	۸۱-۷۶ گیگاهرتز
پهنهای باند سیگنال	تا ۴ گیگاهرتز
پهنهای باند میانی	۵ مگاهرتز
بهره آنتن فرستنده	۳۰ دسی بل
بهره آنتن گیرنده	۳۰ دسی بل
طول چرب	۶۰ میکرو ثانیه
تعداد فرستنده	۲
تعداد گیرنده	۴
طول ریل	۹۰ سانتی متر

سنجدنده می‌شود.

طبق نمودار شکل (۵) می‌توان پارامتر قدرت تفکیک برد سنجدنده را برای کاربرد مورد نظر تنظیم نمود. به عنوان مثال، در صورتی که قصد پایش هدفی با سطح مقطع راداری  $10 \text{ متر}^2$  با نسبت سیگنال به نویز  $15$  دسیبل مدنظر باشد؛ بطور معمول سنجدنده می‌تواند این نوع هدف را تا برد  $680 \text{ متر}$  کشف کند (منحنی‌های معادله رادار). با این حال، پارامتر برد بیشینه ذخیره-شده (محورهای افقی) نشان‌دهنده این است که هدف در چه فاصله‌ای باید قرارداشته باشد تا محدوده پهنه‌ای باند دیچرپ سنجدنده قرارگرفته و در سیگنال ذخیره-شده نهایی دیده شود. درنتیجه، طبق این نمودار می‌توان، با توجه به کاربرد موردنظر و منطقه مورد مطالعه، محل قرارگیری سامانه *GBSAR* را پس از تنظیم پارامترها تعیین نمود.

محدوده فرکانسی این سنجدنده در باند *W* قراردارد و فرکانس حامل آن در محدوده  $81-76 \text{ گیگاهرتز}$  قابل تنظیم است که باعث ایجاد طول موجی به اندازه حدود  $4 \text{ میلی‌متر}$  می‌شود. در این سنجدنده بخش فرستنده دارای توان  $1/5 \text{ میلی‌وات}$  است. سیگنال ایجادشده بصورت *FMCW* با طول چرپ  $60 \text{ میکروثانیه}$  می‌باشد و امکان تعیین پهنه‌ای باند فرکانسی تا  $4 \text{ گیگاهرتز}$  وجود دارد. این سیستم از  $2$  آنتن فرستنده و  $4$  آنتن گیرنده تشکیل شده که قابلیت پردازش *MIMO* و ایجاد  $8$  آنتن مجازی را میسر می‌کنند. هریک از آنتن‌های گیرنده و فرستنده دارای بهره  $30 \text{ دسیبل}$  هستند. همچنین عدد نویز  $15 \text{ دسیبل}$  برای گیرنده در نظر گرفته شده است. پهنه‌ای باند میانی ( $B_{IF}$ ) در نظر گرفته شده در این سیستم  $5 \text{ مگاهرتز}$  است. بنابراین، پس از فرایند دیچرپینگ سیگنال دریافتی، تنها اهداف با فرکانس کمتر از  $5 \text{ مگاهرتز}$  شناسایی می‌شوند. با جایگذاری پارامترهای موجود در جدول (۱) در معادله اساسی رادار (رابطه (۱)) نمودار شکل (۵) برای سامانه مورد بررسی بدست می‌آید. این نمودار بطور کامل و جامع به بررسی برد بیشینه قابل شناسایی توسط این سنجدنده می‌پردازد. در این نمودار هر یک خطوط منحنی مربوط به بیشترین برد قابل کشف سنجدنده براساس معادله رادار برای هدفی با سطح مقطع راداری ( $RCS^1$ ) مشخص و برای نسبت سیگنال به نویزهای متفاوت است. خطوط افقی در این نمودار نیز مربوط به برد بیشینه ذخیره شده توسط سنجدنده است که این مقدار وابسته به پهنه‌ای باند دیچرپ سیگنال و قدرت تفکیک در راستای برد است. برد بیشینه ذخیره شده برای هر قدرت تفکیک مکانی مشخص، با جایگذاری  $F_b = B_{IF}$  در رابطه (۶) بدست می‌آید. طبق این رابطه و همان‌طور که از شکل نیز می‌توان دریافت، بهبود قدرت تفکیک در راستای برد باعث کاهش برد بیشینه ذخیره شده در

<sup>1</sup> Radar Cross Section (*RCS*)



نسبت سیگنال به نویز (دسی بل)

شکل ۵: نمودار استخراج برد بیشینه براساس پارامترهای سامانه GBSAR موردنظر

حالات عنوان شده را بیان می کند. در این شبیه سازی، فرکانس حامل سنجنده ۷۷ گیگاهرتز در نظر گرفته شده که با پهنه ای باند ۶۰۰ مگاهرتزی مدوله می شود. موقعیت قرار گیری مرکز سنجنده GBSAR در مبدا مختصات محلی در نظر گرفته شده است. همچنین دو هدف نقطه ای با سطح مقطع راداری ۱۰ دسی بل با فاصله ۱۰ متر در راستای برد از سنجنده و فاصله ۶ متر از یکدیگر در راستای عمود بر برد در نظر گرفته شده اند. همان طور که جدول (۱) بیان می کند، سنجنده رادار مورد بررسی از ۲ آنتن فرستنده و ۴ آنتن گیرنده با هندسه MIMO تشکیل شده که در نهایت باعث ایجاد ۸ آنتن مجازی با فواصل  $\frac{1}{2}$  از هم می گردد. درنتیجه، در زمان تشکیل تصویر با حالت ترکیبی MIMO و ریل می توان بجای گامهایی به اندازه  $\frac{1}{4}$  از گامهای بلندتری به اندازه  $2\lambda$  بهره گرفت.

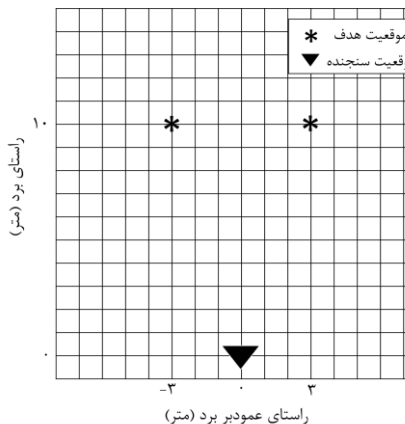
**۳-۳- نتایج پردازش سیگنال و تشکیل تصویر**  
همان طور که در رابطه (۱۲) بیان گردید، فاصله نمونه برداری در راستای عمود بر برد (گامهای حرکتی سنجنده بر ریل) در سامانه های متداول GBSAR با یک فرستنده و گیرنده (سامانه های مونو استاتیک<sup>۱</sup>) برابر با  $\lambda = \frac{\Delta x}{4}$  است. در ادامه نیز بیان شد که با استفاده از آنتن MIMO می توان فاصله نمونه برداری را طبق رابطه (۱۳) افزایش داد. بنابراین، این قابلیت باعث می گردد تا بدون نقض قضیه نایکوئیست در راستای عمود بر برد، بتوان فاصله گامهای حرکتی را افزایش و مدت زمان اسکن را کاهش داد.

در این زیربخش، نتایج تصاویر حاصل در سه حالت MIMO ثابت، رادار روزنہ مصنوعی متداول مونو استاتیک، و ترکیب رادار روزنہ مصنوعی با رادار MIMO مورد بررسی قرار می گیرند. جدول (۲) هندسه و خصوصیات محیط شبیه سازی به منظور تصویر برداری در

<sup>۱</sup> Monostatic

جدول ۲: بارامترهای شبیه‌سازی تصویربرداری در حالت رادار روزنگ مصنوعی روی ریل خطی

پارامتر	مقدار
فرکانس حامل (GHz)	۷۷
پهنای باند(GHz)	۰.۶
قدرت تفکیک مکانی (m)	۰.۲۵
تعداد آنتن‌های مجازی در حالت MIMO	۸
طول ریل (m)	۰.۹
موقعیت قرارگیری سنجنده‌های رادار در مختصات سه‌بعدی (m) (X,Y,Z)	(۰.۰, ۰.۰, ۰.۰)
موقعیت قرارگیری هدف در مختصات سه‌بعدی (m) (X,Y,Z)	(۱۰, ۳, ۰) و (۰, ۳, ۱۰)
سطح مقطع راداری هر هدف (dB)	۱۰



هندرسه قرارگیری اهداف و سنجنده

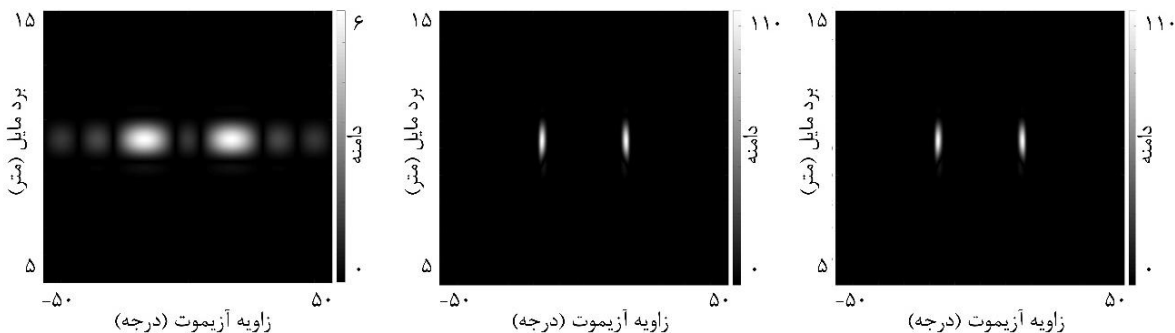
باریک‌تر شده و همچنین اثر لوب‌های کناری نیز بسیار کاهش یافته است. در مقایسه دو حالت ایجاد روزنگ مصنوعی، در حالت ترکیبی حرکت مکانیکی سنجنده MIMO بر روی ریل، علاوه‌بر حفظ قدرت تفکیک مکانی بالای حالت مونواستاتیک، تعداد گام‌های مورد نیاز نیز به اندازه هشت برابر کاهش یافته است. درنهایت، جدول (۳) هر سه حالت تصویربرداری را بصورت عددی مقایسه می‌کند. در حالت متداول رادار روزنگ مصنوعی مونو استاتیک برای رادار میلیمتری باند ۹۰ W نیاز به ۹۲۰ گام حرکتی در ریلی به طول

در شکل (۶) مقایسه تصویری هر یک از حالات تصویربرداری رادار روزنگ مصنوعی نمایش داده می‌شود. در حالت استفاده از تنها رادار MIMO (بدون حرکت روی ریل)، بهعلت تعداد کم آنتن‌های مجازی دو هدف در راستای آزیموت بسیار پهن‌تر دیده می‌شوند. همین‌طور، تداخل لوب‌های کناری<sup>۱</sup> اهداف باعث ایجاد لوب‌های قوی در اطراف اهداف شده است. در حالی که، در دو حالت دیگر با حرکت سنجنده بر ریل مکانیکی و ایجاد روزنگ مصنوعی بلندتر، پهنای اهداف بسیار

<sup>۱</sup> Sidelobe

در حالی که، حالت رادار *MIMO* با ۸ آنتن مجازی دارای قدرت تفکیکی به اندازه ۴۰۰ میلی رادیان است.

سانتی متر است. در حالیکه، با ترکیب رادار *MIMO* این تعداد به ۱۱۵ کاهش می یابد. در هر دو حالت، قدرت تفکیک آزیموت بدست آمده ۴/۹ میلی رادیان است.



شکل ۶: شبیه سازی تصاویر رادار روزنه مصنوعی ایجاد شده در سه حالت رادار *MIMO* (سمت چپ)، حالت حرکت مکانیکی رادار مونو استاتیک روی ریل (وسط)، حالت ترکیبی حرکت رادار *MIMO* بر روی ریل مکانیکی (سمت راست)

جدول ۳: مقایسه حالات تصویربرداری رادار روزنه مصنوعی

حالات تصویربرداری	اندازه گام	تعداد گام (ریل ۹۰ سانتی متر)	قدرت تفکیک آزیموت (mrad)
Radar MIMO	-	-	-
Radar Roshne Mchonouy Monostatic	$\frac{\lambda}{4}$	۹۲۰	۴/۹
Trakib Radar MIMO and Roshne Mchonouy روی ریل	۲۲	۱۱۵	۴/۹

۱۰، ۱۵، و ۲۰ متری در مقابل دید سنجنده در نظر گرفته شده اند. در این شبیه سازی ۴۰ مشاهده زمانی صورت می گیرد. هدف نقطه ای اول دارای جابجایی به اندازه ۰/۱ میلیمتر در هر مشاهده است بطوری که تا ۲۰ میلیمتر از موقعیت اولیه دور شده و از مشاهده ۲۰ تا ۴۰ به جایگاه اولیه بازمی گردد. اهداف نقطه ای دوم و سوم نیز ثابت فرض می شوند. لازم به ذکر است که این نوع رفتار و شدت جابجایی با الگوگیری از رفتار جابجایی در سازه های پل صورت گرفته است [۲۱ و ۲۲].

### ۳-۳- نتایج بررسی تداخل سنجی

در این زیربخش قابلیت پایش جابجایی توسط موج میلیمتری سنجنده در دو حالت مورد بررسی و ارزیابی قرار می گیرد. حالت اول مختص پایش جابجایی برای اهداف با بردهای مختلف در حالت راداری (بدون ایجاد روزنه مصنوعی و تشکیل تصویر) است. پارامترهای مدنظر برای سنجنده و پارامترهای تعیین شده برای شبیه سازی اهداف در جدول (۴) نمایش داده شده اند. با توجه به طول موج ۴ میلیمتری سنجنده، جابجایی ها باید کمتر از ۱ میلیمتر باشند تا ابهام فاز رخ ندهد. سه هدف با سطح مقطع راداری ۱۰ دسی بل در بردهای

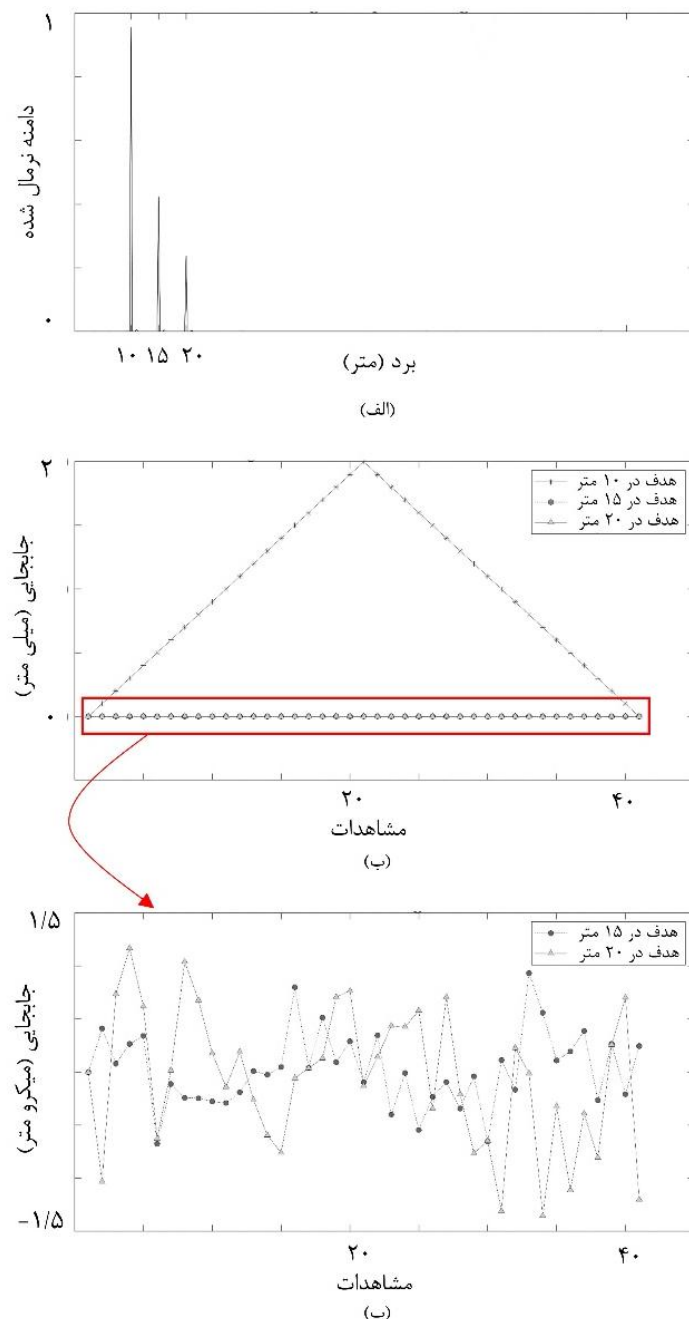
جدول ۴: پارامترهای شبیه‌سازی پایش جابجایی در حالت رادار با روزنگار...

پارامتر	مقدار
فرکانس حامل (GHz)	۷۷
پهنای باند(GHz)	۰,۶
قدرت تفکیک مکانی(m)	۰,۲۵
نسبت سیگنال به نویز (dB)	۱۵
برد اهداف نسبت به رادار(m)	(۱۰، ۱۵، ۲۰)
میزان جابجایی هر هدف در هر برداشت (در راستای دید سنجنده) (mm)	(۰,۱، ۰، ۰)
سطح مقطع راداری هر هدف(dB)	(۱۰، ۱۰، ۱۰)

پذیری بالا در راستای آزمیوت بررسی می‌شود. پارامترهای مدنظر برای سنجنده و پارامترهای تعیین‌شده برای شبیه‌سازی اهداف در جدول (۵) نمایش داده شده‌اند. مشابه با حالت اول در این شبیه‌سازی نیز سه هدف با سطح مقطع راداری ۱۰ دسی‌بل در نظر گرفته شده‌اند. با این تفاوت که هر سه هدف دارای برد یکسان ۲۰ متر هستند و تفاوت آن‌ها در موقعیت قرارگیری در راستای آزمیوت است. در این شبیه‌سازی نیز ۴۰ مشاهده زمانی صورت می‌گیرد. هدف نقطه‌ای اول دارای جابجایی به اندازه ۰,۱ میلی‌متر در هر مشاهده است بطوری که تا ۲۰ ام به اندازه ۲ میلی‌متر از موقعیت اولیه دور شده و از مشاهده ۲۰ تا ۴۰ به جایگاه اولیه بازمی‌گردد. اهداف نقطه‌ای دوم و سوم نیز ثابت فرض می‌شوند. طبق شبیه‌سازی صورت گرفته، در حالت رادار MIMO فاصله کم اهداف در راستای آزمیوت، تفکیک-پذیری پایین و تاثیر سیگنال اهداف در یک پیکسل، باعث گردید تا در این حالت از تصویربرداری (جدول ۳)، تصویر حاصل قادر به کشف و محاسبه سیگنال جابجایی اهداف نباشد. در حالی که با توسعه به حالت MIMO-SAR و ایجاد روزنگار مصنوعی بلندتر، و بهبود تفکیک-پذیری، سیگنال جابجایی اهداف نیز استخراج و قابل محاسبه گردید.

شکل (۷-الف) مقادیر دامنه سیگنال فشرده شده در راستای برد را نمایش می‌دهد که محل قرارگیری هر سه هدف بصورت مقادیر بیشینه ظاهر شده‌اند. در شکل (۷-ب) میزان جابجایی هر هدف بصورت جداگانه در هر مشاهده را نمایش می‌دهد. مقادیر جابجایی پس از طی فرایند شبیه‌سازی و محاسبه فاز تداخل سنجی و طبق رابطه (۱۷) بدست می‌آید. همانطور که دیده می‌شود هدف نقطه‌ای اول تا مشاهده ۲۰ از موقعیت اولیه دور و سپس به موقعیت اولیه باز می‌گردد. در حالیکه، دو هدف نقطه‌ای دیگر ظاهرا ثابت هستند. شکل (۷-پ) بصورت دقیق‌تری سیگنال جابجایی دو هدف ثابت را نمایش می‌دهد که برخلاف اینکه ثابت بوده‌اند ولی سیگنال پردازش شده اندکی جابجایی در هر مشاهده را نمایش می‌دهد. مقادیر شدت خطأ از سطح ۱/۵ میکرومتر پایین‌تر و پس از ۵۰۰ تکرار، بطور میانگین حدود ۰,۳۲ میکرومتر است. درواقع از این نتایج می‌توان نتیجه‌گرفت که با دقت میکرون در حالت ایده‌آل می‌توان به استخراج جابجایی پرداخت.

در شبیه‌سازی دوم، قابلیت محاسبه جابجایی در حالتی که اهداف دارای برد های یکسان ولی موقعیت آزمیوت متفاوت هستند مورد بررسی قرار می‌گیرد. در این حالت، نیاز به ایجاد روزنگار مصنوعی و قابلیت تفکیک-



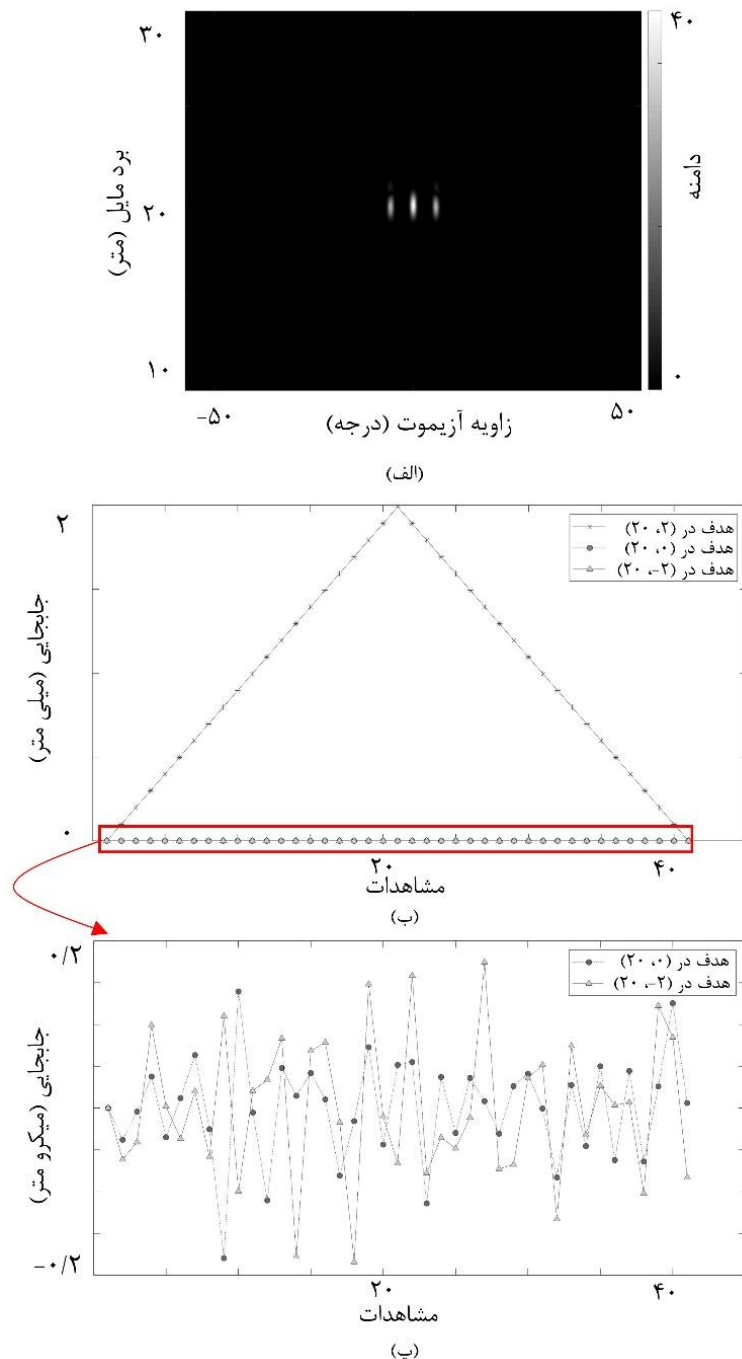
شکل ۷: شبیه‌سازی پایش جابجایی در حالت رادار با حضور سه هدف. (الف) سیگنال فشرده شده (ب) جابجایی اهداف در پایش سری زمانی (پ) بررسی خطای جابجایی مشاهده شده در طول پایش برای دو هدف ثابت

جدول ۵: پارامترهای شبیه‌سازی پایش جابجایی در حالت رادار روزنگار مصنوعی

پارامتر	مقدار
فرکانس حامل (GHz)	۷۷
پهنای باند(GHz)	۰.۶
قدرت تفکیک مکانی(m)	۰.۲۵
نسبت سیگنال به نویز (dB)	۱۵
موقعیت قرارگیری اهداف(m)	(۲۰، ۲، ۰)
موقعیت قرارگیری اهداف(m)	(۲۰، ۰، ۰)
موقعیت قرارگیری اهداف(m)	(۳۰، -۲، ۰)
میزان جابجایی هر هدف در هر برداشت (در راستای دید سنجنده) (mm)	(۰.۱، ۰، ۰)
سطح مقطع راداری هر هدف(dB)	(۱۰، ۱۰، ۱۰)

دقیق‌تری سیگنال جابجایی دو هدف ثابت را نمایش می‌دهد. در این حالت، مقادیر شدت خطا از سطح ۰.۲ میکرومتر پایین‌تر است.

شکل (۸-الف) تصویر رادار روزنگار مصنوعی از محل قرارگیری اهداف را نمایش می‌دهد. در شکل (۸-ب) میزان جابجایی هر هدف بصورت جداگانه در هر مشاهده را نمایش می‌دهد. شکل (۸-پ) نیز بصورت



شکل ۸: شبیه‌سازی پایش جابجایی در حالت رادار روزنہ مصنوعی با حضور سه هدف. (الف) تصویر دامنه (ب) جابجایی اهداف در پایش سری زمانی (ب) بررسی خطای جابجایی مشاهده شده در طول پایش برای دو هدف ثابت

### ۳-۵- مقایسه سامانه پیشنهادی با سامانه‌های موجود

این زیربخش به مقایسه قابلیت‌های سامانه پیشنهادی با سایر سامانه‌های مشابه در مقالات می‌پردازد. همانطور که اشاره شد، سامانه پیشنهادی از سنجنده‌ای با قابلیت *MIMO* و متشکل از ۴ آنتن گیرنده و ۲ فرستنده بهره می‌برد. استفاده از سیگنال در باند *W* باعث‌گردیده تا بعد سنجنده بسیار کوچکتر از سایر سنجنده‌های متداول باشد که همین نکته باعث راحتی نصب و راه‌اندازی این سنجنده بر روی ریل میکانیکی می‌شود. استفاده از ریل مکانیکی و پردازش *SAR* باعث بهبود تفکیک‌پذیری زاویه‌ای سامانه تا ۴۹ میلی‌رادیان گردیده است.

جدول (۶) بیانگر مقایسه‌ای از سامانه‌های *GBSAR* معرفی شده در مقالات اخیر با سامانه پیشنهادی است. سامانه‌های *LISA* [۷] و *IBIS-L* [۲۳]، با فعالیت در باندهای فرکانسی *C* و *Ku* و با تفکیک‌پذیری برد ۰/۵ متر و آزیموت ۳ و ۴ میلی‌رادیان، معمولاً دارای کاربرد در زمینه پایش فرونشست کند در مناطق شهری، و یا زمین‌رانش در شبیه‌ها و کوهپایه‌ها دارند. سامانه‌های ذکر شده نسبت به سامانه پیشنهادی از سخت‌افزار با توان قوی‌تری استفاده می‌کنند که همین باعث می‌گردد تا برای کاربردهای با فواصل بلندتر و مساحت‌های بزرگ‌تر با دقت میلی‌متر استفاده گردد.

از سامانه‌های جدیدتر که از تکنولوژی *MIMO* نیز بهره می‌برند می‌توان به سامانه *MELISSA* [۱۱] با تفکیک‌پذیری ۲۱ میلی‌رادیان در باند فرکانسی *Ku* و سامانه معرفی شده توسط محققین دانشگاه فلورانس [۱۲] با تفکیک‌پذیری ۵۰ میلی‌رادیان و در باند فرکانسی *X* اشاره نمود. سامانه‌های اشاره شده تنها از قابلیت *MIMO* بهره می‌برند و برای رسیدن به تفکیک‌پذیری بالا نیاز به تعداد زیادی آنتن فیزیکی هستند. به عنوان مثال، سامانه *MELISSA* از ۱۲ آنتن فرستنده و ۱۲ آنتن گیرنده تشکیل می‌شود. همانطور که اشاره گردید، استفاده از آنتن‌های فیزیکی با وجود افزایش نرخ

### ۴-۳- بحث درباره کاربردها

پس از ارائه نتایج مربوط در زیربخش‌های پیشین، این زیربخش به مقایسه قابلیت‌های سامانه پیشنهادی با سایر سامانه‌های موجود و بررسی کاربردهای احتمالی آن می‌پردازد.

طبق توضیحاتی که برای شکل (۵) بیان گردید، می‌توان دریافت که برای رسیدن به تفکیک‌پذیری بالا، برد بیشینه سنجنده کاهش می‌یابد. به عنوان مثال و طبق آزمایش‌های صورت‌گرفته در بخش‌های قبل، در هنگام تعیین تفکیک‌پذیری ۲۵ سانتی‌متر (پهنای باند ۶۰۰ مگاهرتز)، برد بیشینه سنجنده تا ۷۵ متر کاهش می‌یابد. بنابراین می‌توان سامانه پیشنهادی را برای کاربردهایی در برد کوتاه و مساحت کوچک در نظر گرفت. همینطور با درنظر گرفتن طول موج میلی‌متری سنجنده، می‌توان از این سامانه برای پایش سازه‌های عمرانی و یا صنعتی برای کشف جابجایی‌های کوچک بهره‌گرفت.

طبق نتایج جدول (۳) سامانه پیشنهادی با بهره‌گیری از پردازش *SAR* به تفکیک‌پذیری ۴/۹ میلی‌رادیان در راستای آزیموت می‌رسد که معادل تفکیک‌پذیری ۲۵ سانتی‌متر در فاصله ۵۰ متری است. این قابلیت باعث می‌گردد تا این سامانه در پایش سازه‌های پیچیده‌تر با رفتار جابجایی پیچیده مانند پل‌ها بهره‌گرفت. بطوری که بتوان در هر بخشی از تصویر *SAR*، رفتار متفاوتی از جابجایی را اندازه‌گیری و کشف نمود.

بنابراین، می‌توان بطور خلاصه گفت که سامانه پیشنهادی برای پایش اهداف در بردی‌ای کوتاه طراحی گردیده است. از طرفی فرکانس بالای این سنجنده باعث ایجاد طول موجی میلی‌متری با سطح نویز بسیار پایین و دقت فاز بسیار بالا می‌گردد. ویژگی‌های ذکر شده با درنظر گرفتن قابلیت پردازش تداخل‌سنجی، برای کشف و اندازه‌گیری جابجایی تکسازه (مانند پل، و ساختمان) با تفکیک‌پذیری مکانی (بهتر از یک متر) و زمانی (حدود چند ساعت) بالا، به همراه قابلیت کشف جابجایی‌های با مقیاس کمتر از میلی‌متر است.

این مقاله، به علت استفاده از ریل مکانیکی، قادر به استخراج لرزش‌ها نخواهد بود ولی با بهره‌گیری از تفکیک‌پذیری بهتر و طول موج کوتاه‌تر، قادر به استخراج جابجایی متراکم‌تر و با دقت‌تر خواهد بود.

برداشت داده باعث افزایش هزینه ساخت و نگهداری می‌شوند. بنابراین، از کاربردهای اصلی این سامانه‌ها می‌توان به پایش و کشف جابجایی‌های سریع و یا لرزش سازه‌ها اشاره نمود. در مقابل، سامانه پیشنهادی

جدول ۶: پارامترهای شبیه‌سازی پایش جابجایی در حالت رادار با روزنه واقعی

کاربرد	تفکیک‌پذیری آزیموت (mrad)	تفکیک‌پذیری بود (m)	باند فرکانسی	نام سامانه	<b>GBSAR</b>
فرونشست شهری و زمین‌رانش	۳	۰,۵	<i>C, Ku</i>	[۷]LISA	
فرونشست شهری و زمین‌رانش	۴	۰,۵	<i>Ku</i>	[۲۳]IBIS-L	
پایش جابجایی و لرزش سازه	۲۱	۰,۹~۰,۳۷	<i>Ku</i>	[۱۱]MELISSA	
پایش جابجایی و لرزش سازه	۵۰	۰,۴۷	<i>X</i>	[۱۲]	
پایش جابجایی سازه	۴,۹	>۰,۰۸	<i>W</i>	<i>MIMO GBSAR</i>	

مورد بررسی و ارزیابی قرار گرفت. قابلیت *MIMO* شرایطی را فراهم می‌آورد تا بتوان با استفاده از ترکیب چندین آنتن فرستنده و گیرنده به آنتنی مجازی با ابعاد بزرگتر و توانایی تفکیک‌پذیری در راستای عمود بر برد (زاویه آزیموت) رسید. با این حال، نیاز به تعداد آنتن‌های زیاد برای رسیدن به تفکیک‌پذیری بالای آزیموت باعث گردید تا در این مقاله به بررسی ترکیب آنتن *MIMO* با تصویربرداری روزنه مصنوعی به کمک حرکت سنجنده بر روی ریل مکانیکی پرداخته شود. سنجنده رادار مورد بررسی از طول موج میلیمتری در باند *W* بهره می‌برد و دارای دو آنتن فرستنده و چهار آنتن گیرنده با هندسه *MIMO* است که باعث ایجاد هشت آنتن مجازی پس از فرمدهی پرتو می‌شود. در شیوه‌سازی‌های صورت‌گرفته ابتدا قابلیت سامانه مورد بررسی در کشف دورترین هدف در شرایط مختلف، براساس معادله رادار مورد بررسی قرار گرفت. در ادامه، قابلیت تصویربرداری با مقایسه سه حالت رادار *MIMO* رادار روزنه مصنوعی مونو استاتیک، و ترکیب رادار *MIMO* با تصویربرداری روزنه مصنوعی بررسی و ارزیابی شد. طبق نتایج حاصل، حالت ترکیبی *MIMO*, باعث بهبود قدرت تفکیک در راستای *GBSAR*

لازم به ذکر است که تمامی سامانه‌های اشاره شده (مشابه سامانه پیشنهادی) تنها قابلیت استخراج جابجایی در راستای دید سنجنده وجود دارد. بطور معمول برای استخراج جابجایی در جهات *XYZ* از اطلاعات پیشین<sup>۱</sup> و یا اخذ داده‌های جانبی با ارتقای سخت‌افزاری بهره‌گرفته می‌شود. به عنوان مثال در مقاله [۲۴] با ترکیب داده‌های ماهواره‌ای *Cosmo-skymed* با سنجنده *GBSAR* به استخراج جابجایی در راستای افقی و عمودی برای پایش فرونشست شهری می‌پردازد. در روشنی نوین‌تر، مقاله [۲۵] با استفاده ترکیبی از سنجنده راداری با سنجنده‌های ترنسپوندر<sup>۲</sup> و پایش منطقه از زوایای دید مختلف، باعث ایجاد هندسه گسترده‌تر و اندازه‌گیری جابجایی از زوایای مختلف-گشتند. در نتیجه، با ترکیب این مشاهدات، توانستند تا با دقیق بالایی بردار جابجایی را تخمین بزنند.

#### ۴- نتیجه‌گیری

در این مقاله توسعه یک سامانه رادار روزنه مصنوعی زمینی با استفاده از آنتن *MIMO* در محیط شبیه‌سازی

<sup>۱</sup> *A priori*

<sup>۲</sup> *Transponder*

مقادیر شدت خطا از سطح ۱/۵ میکرومتر پایین‌تر و بطور میانگین حدود ۰/۳۲ میکرومتر برآورد شدند. در بررسی جابجایی اهداف با برد یکسان، در حالت روزنۀ مصنوعی، سنجنده *MIMO* به علت تفکیک‌پذیری ضعیف آزموت و تداخل سیگنال اهداف با یکدیگر، به تنها قابلیت استخراج و محاسبه جابجایی چند را نداشت. در حالیکه با ایجاد *MIMO SAR* و بهبود تفکیک‌پذیری زاویه، سیگنال جابجایی اهداف نیز در راستای عمود بر برد شناسایی و محاسبه گردید. در کارهای آینده، نتایج شبیه‌سازی با داده واقعی مقایسه و ارزیابی می‌شود. همچنین، روشی برای استخراج بردار جابجایی سه‌بعدی ارائه و توسط سامانه پیشنهادی مورد بررسی و ارزیابی می‌گردد.

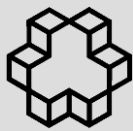
- [1] F. Ulaby *et al.*, *Microwave radar and radiometric remote sensing*. Ann Arbor: University of Michigan Press, 2014.
- [2] M. Crosetto, O. Monserrat, M. Cuevas-González, N. Devanthéry, and B. Crippa, “Persistent Scatterer Interferometry: A review,” *ISPRS Journal of Photogrammetry and Remote Sensing*, vol. 115. Elsevier B.V., pp. 78–89, 01-May-2016.
- [3] M. Pieraccini and L. Miccinesi, “Ground-based radar interferometry: A bibliographic review,” *Remote Sens.*, vol. 11, no. 9, p. 1029, 2019.
- [4] B. Hosseiny, J. Amini, M. Esmaeilzade, and M. Nekooe, “Range Migration Algorithm in the Processing Chain of Signals of a Ground-Based SAR Sensor,” *Int. Arch. Photogramm. Remote Sens. Spat. Inf. Sci.*, vol. 42, pp. 521–525, 2019.
- [5] O. Monserrat, M. Crosetto, and G. Luzi, “A review of ground-based SAR interferometry for deformation measurement,” *ISPRS J. Photogramm. Remote Sens.*, vol. 93, pp. 40–48, 2014.
- [6] Y. Wang *et al.*, “Ground-Based Differential Interferometry SAR: A Review,” *IEEE Geosci. Remote Sens. Mag.*, vol. 8, no. 1, pp. 43–70, 2020.

آزموت از ۴۰۰ میلی رادیان در حالت رادار *MIMO* به ۴/۹ میلی رادیان بوده است. در مقایسه با حالت رادار روزنۀ مصنوعی مونو استاتیک نیز، تعداد گام‌های موردنیاز در حالت ترکیبی از ۹۲۰ گام به ۱۱۵ گام در ریلی به طول ۹۰ سانتی‌متر کاهش یافت که بیان گر قابلیت سامانه *GBSAR MIMO* به اخذ داده با نرخ تصویربرداری بالاتر است. در بررسی پردازش تداخل-سنجدی و قابلیت پایش جابجایی سامانه پیشنهادی در محیط شبیه‌سازی دو آزمایش با حالت‌های رادار روزنۀ واقعی و مصنوعی صورت گرفت. طی این دو آزمایش نرخ جابجایی هدف متحرک ۰/۱ میلی‌متر در هر اپوسک تصویربرداری بود. در حالت رادار، دقت برآورد جابجایی سنجنده در مقیاس میکرو متر بدست آمد. بطوری که

#### مراجع

- [7] D. Tarchi, H. Rudolf, M. Pieraccini, and C. Atzeni, “Remote monitoring of buildings using a ground-based SAR: application to cultural heritage survey,” *Int. J. Remote Sens.*, vol. 21, no. 18, pp. 3545–3551, 2000.
- [8] R. Iglesias *et al.*, “Ground-based polarimetric SAR interferometry for the monitoring of terrain displacement phenomena—Part II: Applications,” *IEEE J. Sel. Top. Appl. Earth Obs. Remote Sens.*, vol. 8, no. 3, pp. 994–1007, 2014.
- [9] A. Karunathilake, L. Zou, K. Kikuta, M. Nishimoto, and M. Sato, “Implementation and configuration of GB-SAR for landslide monitoring: case study in Minami-Aso, Kumamoto,” *Explor. Geophys.*, vol. 50, no. 2, pp. 210–220, 2019.
- [10] Y. Zhou *et al.*, “Digital Beamforming Synthetic Aperture Radar (DBSAR): Experiments and Performance Analysis in Support of 16-Channel Airborne X-Band SAR Data,” *IEEE Trans. Geosci. Remote Sens.*, pp. 1–15, Oct. 2020.
- [11] D. Tarchi, F. Oliveri, and P. F. Sammartino, “MIMO radar and ground-

- based SAR imaging systems: Equivalent approaches for remote sensing," IEEE Trans. Geosci. Remote Sens., vol. 51, no. 1, pp. 425–435, 2012.*
- [12] *M. Pieraccini and L. Miccinesi, "An interferometric MIMO radar for bridge monitoring," IEEE Geosci. Remote Sens. Lett., vol. 16, no. 9, pp. 1383–1387, 2019.*
- [13] *N. Rojhani, M. Passafiume, M. Lucarelli, G. Collodi, and A. Cidronali, "Assessment of Compressive Sensing  $2 \times 2$  MIMO Antenna Design for Millimeter-Wave Radar Image Enhancement," Electronics, vol. 9, no. 4, p. 624, Apr. 2020.*
- [14] *B. Hosseiny and J. Amini, "Evaluation of a Signal Processing Algorithm in a Ground-Based SAR System in Simulated Environment," ISSGE, vol. 8, no. 2, pp. 189–198, Dec. 2018.*
- [15] *M. I. (Merrill I. Skolnik, Introduction to radar systems. McGraw Hill, 2003.*
- [16] *A. Meta, P. Hoogeboom, and L. P. Ligthart, "Signal processing for FMCW SAR," IEEE Trans. Geosci. Remote Sens., vol. 45, no. 11, pp. 3519–3532, 2007.*
- [17] *W. G. Carrara, R. S. Goodman, and R. M. Majewski, Spotlight synthetic aperture radar: signal processing algorithms. Boston : Artech House, 1995.*
- [18] *M. Soumekh, Synthetic aperture radar signal processing, vol. 7. New York: Wiley, 1999.*
- [19] *B. R. Mahafza and A. Elsherbeni, MATLAB simulations for radar systems design. CRC press, 2003.*
- [20] *R. F. Hanssen, Radar interferometry: data interpretation and error analysis, vol. 2. Springer Science & Business Media, 2001.*
- [21] *C. Li, W. Chen, G. Liu, R. Yan, H. Xu, and Y. Qi, "A noncontact FMCW radar sensor for displacement measurement in structural health monitoring," Sensors, vol. 15, no. 4, pp. 7412–7433, 2015.*
- [22] *M. Pieraccini, "Monitoring of civil infrastructures by interferometric radar: A review," Sci. World J., vol. 2013, 2013.*
- [23] *S. Rödelsperger, G. Läufer, C. Gerstenecker, and M. Becker, "Monitoring of displacements with ground-based microwave interferometry: IBIS-S and IBIS-L," J. Appl. Geod., vol. 4, no. 1, pp. 41–54, 2010.*
- [24] *A. Montuori et al., "The interferometric use of radar sensors for the urban monitoring of structural vibrations and surface displacements," IEEE J. Sel. Top. Appl. Earth Obs. Remote Sens., vol. 9, no. 8, pp. 3761–3776, 2016.*
- [25] *L. Miccinesi and M. Pieraccini, "Bridge Monitoring by a Monostatic/Bistatic Interferometric Radar Able to Retrieve the Dynamic 3D Displacement Vector," IEEE Access, vol. 8, pp. 210339–210346, 2020.*



## ***Evaluating the deformation monitoring capability of a ground based SAR system with MIMO antenna***

**Benyamin Hosseini<sup>1</sup>, Jalal Amini<sup>2\*</sup>, Safioddin Safavi-Naeini<sup>3</sup>**

1- Ph.D. candidate of remote sensing in Department of Surveying and Geospatial Engineering, College of Engineering, University of Tehran

2- Professor in Department of Surveying and Geospatial Engineering, College of Engineering, University of Tehran

3- Professor in Faculty of Electrical and Computer Engineering, University of Waterloo, ON, Canada

### **Abstract**

By increasing the applicability of ground-based SAR (GBSAR) systems in geoscience and remote sensing, the development and evaluation of new systems have gained attention. GBSAR systems can be utilized for monitoring areas that are hard to or cannot be seen by the airborne or spaceborne systems. Furthermore, they have better spatial and temporal resolutions and are cost-effective and easy to implement. This paper develops and evaluates a GBSAR system by combining a multiple-input multiple-output (MIMO) radar and mechanical linear rail as a synthetic aperture in azimuth direction (MIMO GBSAR) in a simulated environment. The considered radar sensor consists of two transmitters and four receiver antennas, operating at the W band frequency between 76-81 GHz. Azimuth compression consists of two main steps: MIMO beamforming and then compressing all gathered signals in the azimuth direction. According to the simulated results, the proposed MIMO GBSAR is able to improve the azimuth angular resolution to 4.9 mrad, compared to the 400 mrad angular resolution of the simple MIMO radar. A monostatic radar sensor requires 920 steps to complete a 0.9 m linear synthetic aperture, while the proposed MIMO GBSAR requires 115 steps, which implies a faster data acquisition rate. A simulated experiment was conducted in order to evaluate the interferometric capability of the considered sensor. The target's displacement rate was considered 0.1 millimeters per epoch. According to the results, the errors' amplitude was smaller than 1.5 micrometer, and the average displacement error was 0.32 micrometer.

**Key words:** Beamforming, SAR imaging, radar interferometry, millimeter wave, W-band.

**Correspondence Address:** Remote Sensing Group, Department of Surveying and Geospatial Engineering, College of Engineering, University of Tehran.  
Tel : + 98 21 61114378.  
Email : jamini@ut.ac.ir